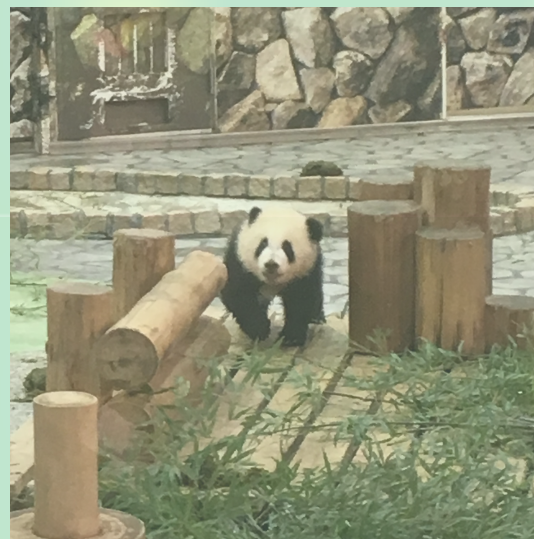


# 核力とカイラル動力学



兵藤 哲雄

首都大学東京

2019, Aug. 7th 1



## 導入



## QCDとカイラル対称性

- 対称性とその役割
- カイラル対称性とハドロン物理



## カイラル摂動論

- 理論の構成方法
- 核子を含む理論への拡張と核力

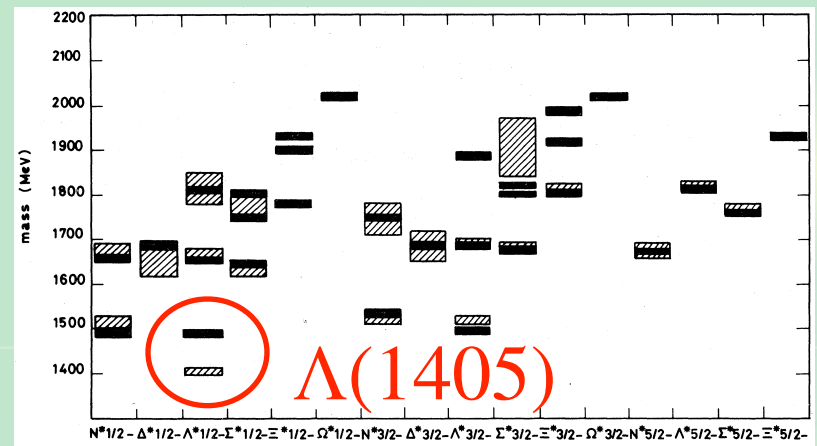
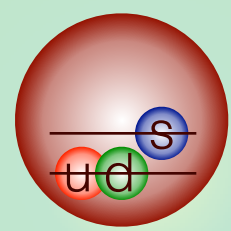


## まとめ

# Λ(1405)とハドロン物理

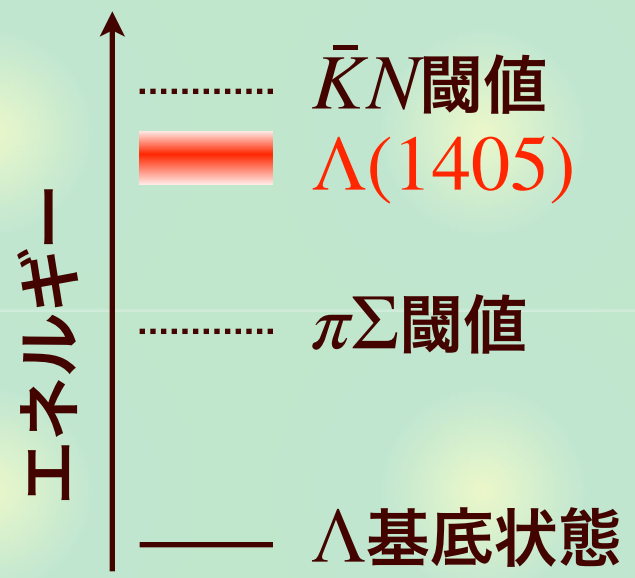
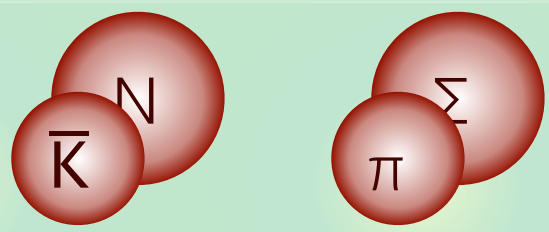
Λ(1405)：クォーク模型で記述できない、エキゾチック構造？

N. Isgur and G. Karl, Phys. Rev. D18, 4187 (1978)



不足している要素：散乱中の**共鳴状態**

- メソン・バリオン状態への結合

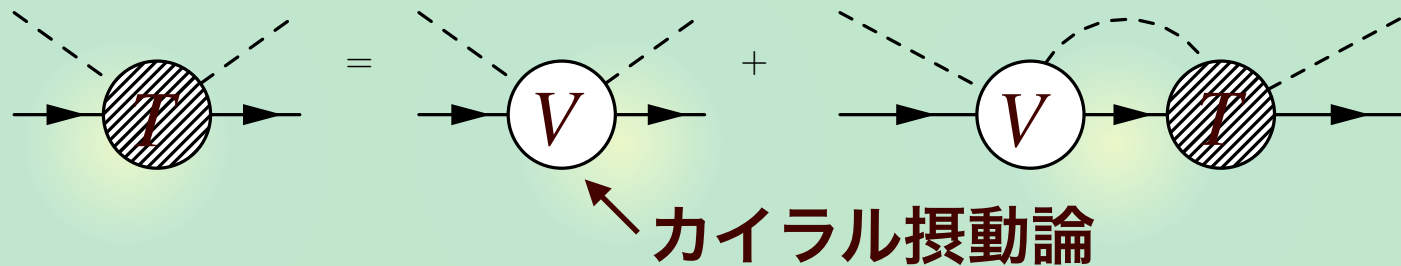


$\bar{K}N$ - $\pi\Sigma$ 散乱の詳細な解析が必要

# カイラル動力学による $\Lambda(1405)$ の記述

カイラル動力学：メソン・バリオン散乱振幅  $T$

T. Hyodo, D. Jido, Prog. Part. Nucl. Phys. 67, 55 (2012)



- 散乱データの解析を行い散乱振幅を決定
- 核力のカイラル有効場の理論と本質的に同じ

最近の解析

Y. Ikeda, T. Hyodo, W. Weise, PLB 706, 63 (2011); NPA 881 98 (2012)

- $\Lambda(1405)$ 共鳴の極（固有エネルギー）を決定
- 結果はPDG（Particle Data Group）に採用

## 核力

## 核力とは

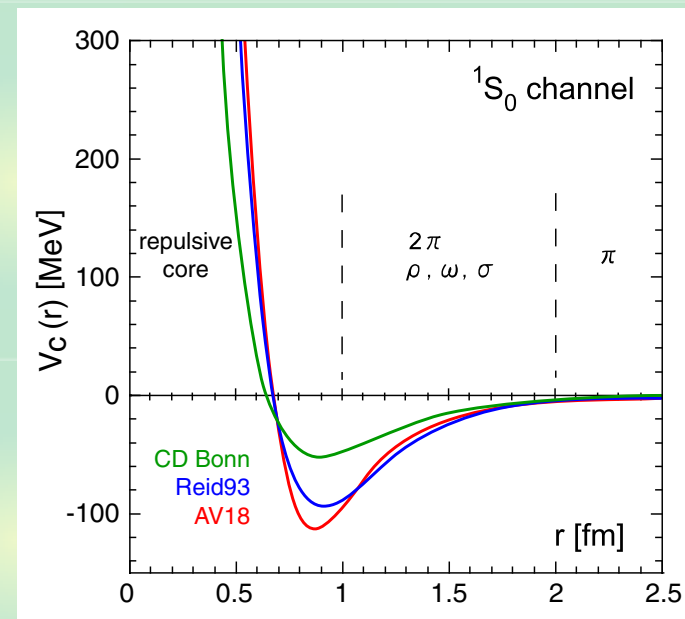
- 原子核を自己束縛させる”強い力”：原子核物理の基礎
- 複雑な**QCDのダイナミクス**を反映

## 特徴

- 到達距離は $\pi$ のコンプトン波長程度

$$d \sim \frac{\hbar}{m_{\pi}c} \sim 1.4 \text{ fm}$$

- 短距離で斥力芯
  - 原子核密度の飽和性
- 中心力以外にテンソル力やLS力を持つ



# 核力を記述するアプローチ

## 現象論的核力

R.B. Wiringa, V. G. J. Stoks, R. Schiavilla, Phys. Rev. C 51, 38 (1995);  
R. Machleidt, Phys. Rev. C 63, 024001 (2001)

## カイラル有効場の理論 (Effective Field Theory, EFT)

E. Epelbaum, H.W. Hammer, U.G. Meissner, Rev. Mod. Phys. 81, 1773 (2008);  
R. Machleidt, D.R. Entem, Phys. Rept. 503, 1 (2011)

- 理論に基づいたポテンシャルで実験データをfit
- 現実的な精度 ( $\chi^2 \sim 1$ ) を達成

## 格子QCD

S. Aoki et al., PTEP 2012, 01A105 (2012)

- ポテンシャルの関数で格子データをfit
- 実験データのないチャンネルに拡張可能



# カイラルEFTの特徴

QCDのカイラル対称性を尊重している

- 長距離は $\pi$ 交換で記述

短距離部分は接触相互作用

- 短距離パラメーターは実験で決定

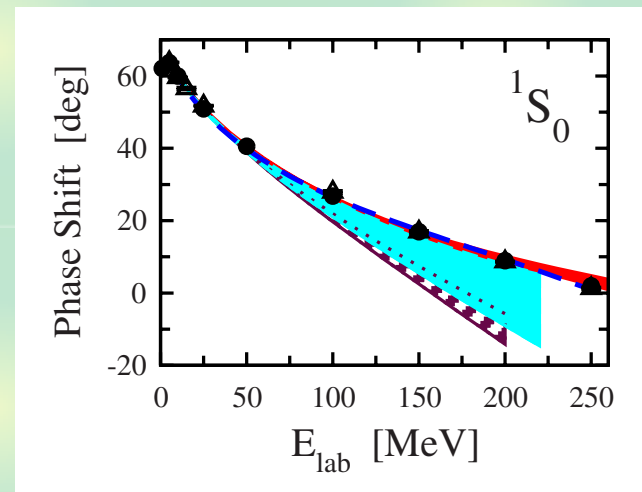
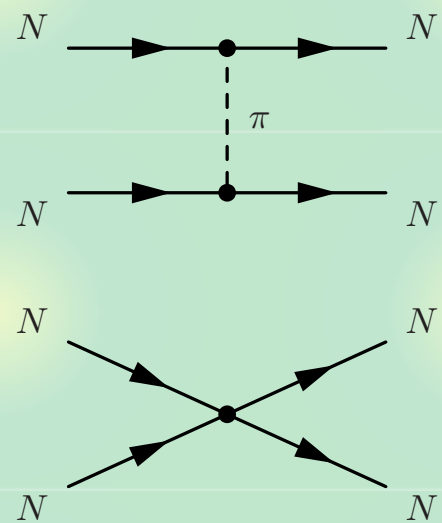
低エネルギー展開に基づいている

- 精度を系統的に改良できる

LO  $\rightarrow$  NLO  $\rightarrow$  **N<sup>2</sup>LO**  $\rightarrow$  N<sup>3</sup>LO  $\rightarrow$  N<sup>4</sup>LO

- 理論の不定性を見積もりが可能

3体力は2体力と同じ枠組みで構成

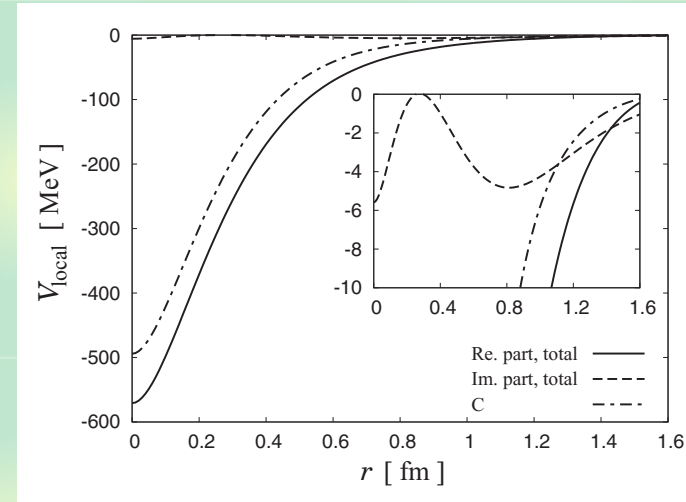


## 関連する研究

### メソン交換モデルによる $N\Omega(J=2)$ 相互作用と準束縛状態

T. Sekihara, Y. Kamiya, T. Hyodo, Phys. Rev. C 98, 015205 (2018)

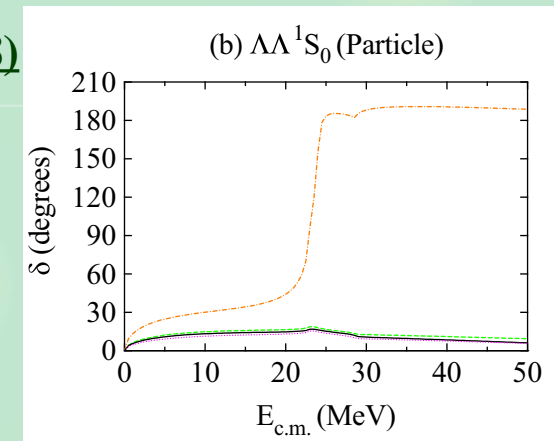
- メソン交換 + 短距離接触相互作用
- 格子QCDデータで短距離を決定
- 準束縛状態が存在
- 崩壊チャンネルの効果は小さい



### 共変的カイラル摂動論による $S = -2$ バリオン間相互作用

K.W. Li, T. Hyodo, L.S. Geng, Phys. Rev. C 98, 065203 (2018)

- 格子QCDと $S = -1$ の実験をfit
- 物理点への外挿
- アイソスピン対称性の破れの重要性







## 導入



## QCDとカイラル対称性

- 対称性とその役割
- カイラル対称性とハドロン物理



## カイラル摂動論

- 理論の構成方法
- 核子を含む理論への拡張と核力



## まとめ

# 量子力学の対称性

対称性：物理系（ハミルトニアン）を不変に保つ変換

- 理論が解けなくても分かる性質がある
- 既知の情報から予言ができる

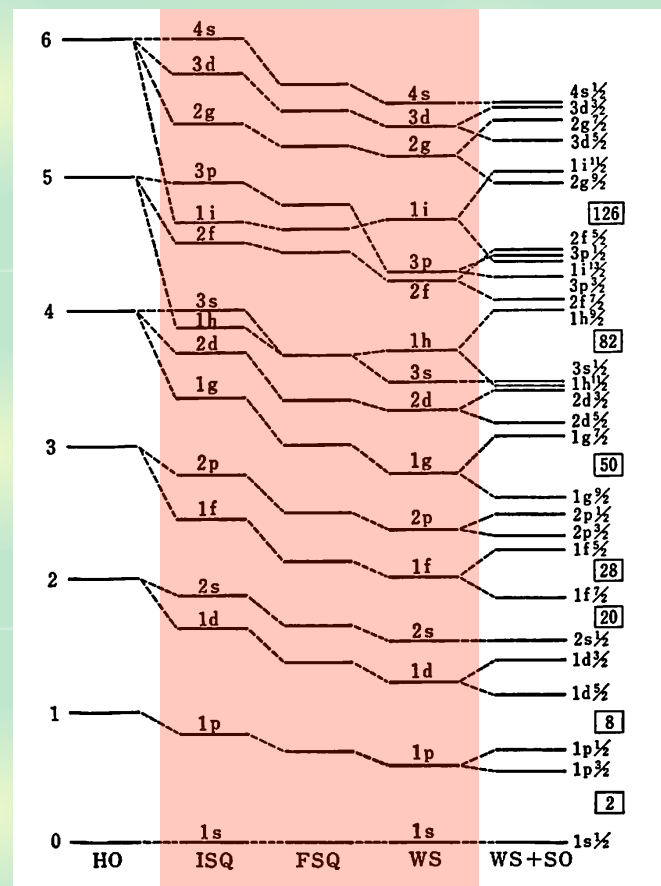
例) 中心力ポテンシャル

$$V(\mathbf{r}) = V(|\mathbf{r}|)$$

- 特定の方向がない：回転対称性  $SO(3)$

回転対称性の帰結

- 角運動量  $\ell$  が保存
- エネルギーは磁気量子数  $m$  に依らない
- $2\ell + 1$  個の固有状態が縮退



# 破れた対称性

## 対称性の (explicitな) 破れ

- $z$ 方向に強さ  $B$  の外部磁場をかける (ゼーマン効果)

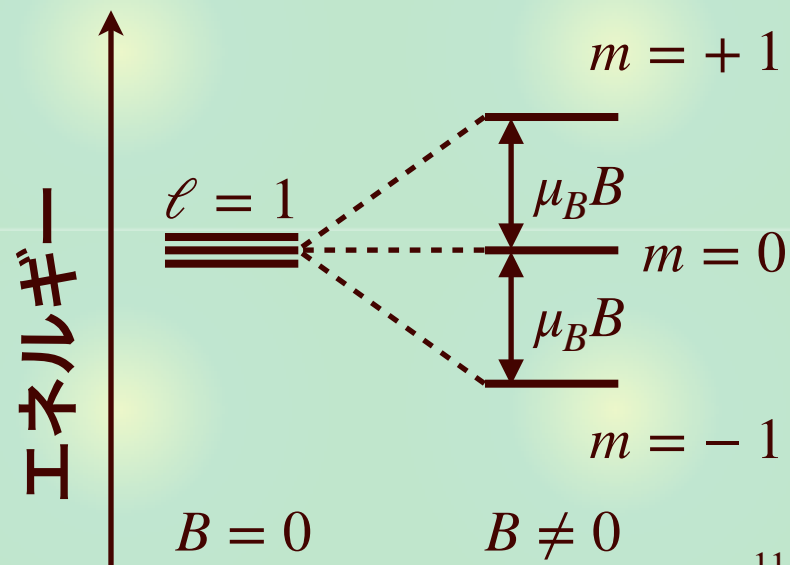
$$\hat{H} = \hat{H}_{\text{central}} + \frac{eB}{2m_e} \hat{L}_z$$

- $z$ 軸が特別な方向: **ハミルトニアンが回転対称性を破る**
- エネルギーが磁気量子数  $m$  に依存し縮退が解ける

## 破れた対称性の帰結

- 縮退度  $2\ell + 1$  個に準位が分裂
- 準位分裂は等間隔で  $B$  に比例

## 対称性とその破れから予言ができる



# QCDの対称性と破れ

## フレーバーSU(3)対称性

- $u, d, s$ クォークを入れ替える**QCD**の対称性
- $s$ クォークが  $u, d$  に比べ重い：対称性の破れ

## 対称性が厳密な場合

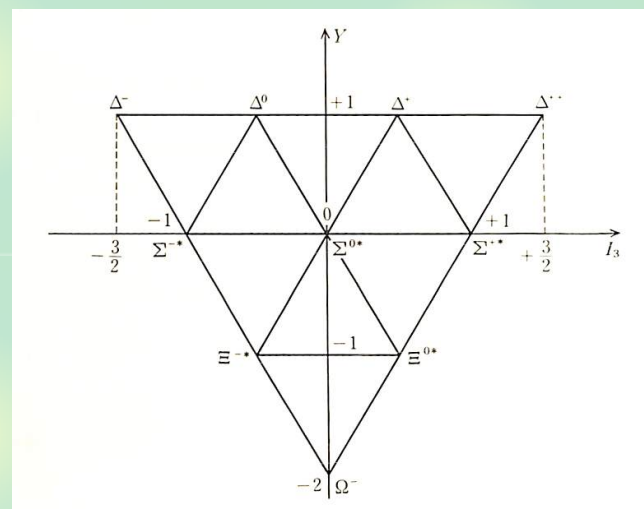
- **ハドロン**のSU(3)多重項 (8, 10, ...) が縮退

## 対称性が破れた場合：縮退が解ける

- Gell-Mann大久保の質量公式

$$M(I, Y) = a + bY + c \left[ I(I + 1) - \frac{Y^2}{4} \right]$$

- $\Delta, \Sigma^*, \Xi^*$ から **$\Omega$** が**予言**できる



## 自発的対称性の破れ

自発的対称性の破れ (spontaneous symmetry breaking)

- ハミルトニアンの対称性を**固有状態**が破る

例：強磁性体（格子点上のスピン系、 $J > 0$ ）

$$\hat{H} = -J \sum_{\langle i,j \rangle} \hat{\mathbf{s}}_i \cdot \hat{\mathbf{s}}_j = -J \sum_{\langle i,j \rangle} (\hat{s}_{x,i} \hat{s}_{x,j} + \hat{s}_{y,i} \hat{s}_{y,j} + \hat{s}_{z,i} \hat{s}_{z,j})$$

- ハミルトニアンには特定の方向がない：回転対称性  $SO(3)$
- 隣り合うスピンの向きが揃う方がエネルギーが低い

$$\langle \dots \uparrow \uparrow \dots | \hat{H} | \dots \uparrow \uparrow \dots \rangle < \langle \dots \uparrow \downarrow \dots | \hat{H} | \dots \uparrow \downarrow \dots \rangle$$

- (低温の) 基底状態は全てのスピンの向きが揃った状態

スピンの向きが揃う方向が特定、**状態によって**回転対称性が破れる

# 秩序変数

## 秩序変数 (order parameter)

- 対称性の自発的破れを特徴付ける**期待値**

$$M = \langle 0 | \sum_i \hat{s}_{z,i} | 0 \rangle$$

← 基底状態

- 磁化：各スピンの $z$ 方向成分の期待値の和
- 演算子  $\sum_i \hat{s}_{z,i}$  は回転対称性を破る

高温：熱揺らぎが大きくスピンはランダムな方向を向く

$$M = 0$$

低温：熱揺らぎが小さくスピンの揃う

$$M \neq 0$$

秩序変数の値で自発的破れの度合いが判定できる



# QCDとアイソスピン対称性

QCDラグランジアン ( $m_u = m_d \equiv m$ )

$$\mathcal{L}_{\text{QCD}} = \bar{q}(i\gamma^\mu D_\mu)q - m\bar{q}q + (\text{gluon})$$

運動項    質量項

- クォーク場

$$q = \begin{pmatrix} u \\ d \end{pmatrix}, \quad \bar{q} = (\bar{u} \quad \bar{d})$$

フレーバーSU(2)変換 (アイソスピン変換)

$$q \rightarrow Uq, \quad \bar{q} \rightarrow \bar{q}U^\dagger$$

↖  $2 \times 2$  ユニタリー行列、 $UU^\dagger = 1$

$\mathcal{L}_{\text{QCD}}$  はSU(2)対称性を持つ:  $\bar{q}q \rightarrow \bar{q}U^\dagger Uq = \bar{q}q$

# カイラル変換

クォーク場を右巻き  $q_R$  と左巻き  $q_L$  に分解

$$q = q_L + q_R, \quad \bar{q} = \bar{q}_L + \bar{q}_R$$

- カイラル  $SU(2)_R \otimes SU(2)_L$  変換

$$q_L \rightarrow Lq_L, \quad q_R \rightarrow Rq_R, \quad \bar{q}_L \rightarrow \bar{q}_L L^\dagger, \quad \bar{q}_R \rightarrow \bar{q}_R R^\dagger$$

$$2 \times 2 \text{ ユニタリー行列、 } LL^\dagger = RR^\dagger = 1$$

運動項：右巻きと左巻きが独立  $\bar{q}_L(i\gamma^\mu D_\mu)q_L + \bar{q}_R(i\gamma^\mu D_\mu)q_R$

- カイラル変換で不変（カイラル対称性がある）

質量項：右巻きと左巻きが混ざる  $-m\bar{q}_L q_R - m\bar{q}_R q_L$

- カイラル対称性を破る  $\bar{q}_L q_R \rightarrow \bar{q}_L L^\dagger R q_R \neq \bar{q}_L q_R$

## カイラル対称性と自発的破れ

$u, d$ クォーク質量はハドロンスケールに比べて十分小さい

→ 近似的に質量項がないものとみなせる

→ QCDラグランジアンは近似的にカイラル対称性を持つ

自発的破れの秩序変数：**カイラル凝縮**

$$\langle \bar{q}q \rangle \equiv \langle 0 | \bar{q}q | 0 \rangle$$

- $|0\rangle$  : QCD真空 (場の理論の基底状態)
- 演算子  $\bar{q}q = \bar{q}_L q_R + \bar{q}_R q_L$  は対称性を破る
- 様々な証拠から  $\langle \bar{q}q \rangle \neq 0$  であることが知られている

カイラル対称性はQCD真空によって自発的に破れている

# カイラル対称性の自発的破れの帰結

## 構成子クォーク質量の生成

$$M = m + C\langle\bar{q}q\rangle$$

- $m$  : カレントクォーク質量、数MeV
- $M$  : 構成子クォーク質量、約300 MeV
- ハドロン質量のほとんどは  $\langle\bar{q}q\rangle$  によって生成される

$$M_N \sim 3M \gg 3m$$

## 南部ゴールドストーン (NG) ボソンの出現

- 自発的破れに伴う無質量粒子
- $\pi$ 中間子 : 他のハドロンに比べて軽い

$$m_\pi \sim 140 \text{ MeV}, \quad m_\rho \sim 770 \text{ MeV}, \quad M_N \sim 940 \text{ MeV}$$

## 低エネルギー定理

### 低エネルギー定理

- カイラル対称性が支配する物理量の関係式
- カレント代数の方法を用いて導出された

### Gell-Mann Oaks Renner 関係式

$$m_\pi^2 f_\pi^2 = -m \langle \bar{q}q \rangle + \dots$$

- $\pi$ 質量がクォーク質量、カイラル凝縮、 $\pi$ 崩壊定数  $f_\pi$  で決まる

### Weinberg-Tomozawa 定理

$$a \propto \frac{1}{f_\pi^2} \left( I(I+1) - \frac{11}{4} \right) + \dots$$

- $\pi\pi$ 散乱長、 $\pi N$ 散乱長などが  $f_\pi$  で決まる

# 目次



## 導入



## QCDとカイラル対称性

- 対称性とその役割
- カイラル対称性とハドロン物理



## カイラル摂動論

- 理論の構成方法
- 核子を含む理論への拡張と核力



## まとめ



## 有効場の理論

### 有効場の理論 (Effective field theory)

- 微視的理論の低エネルギー現象 ( $p \ll \Lambda$ ) を記述する
- 微視的理論の**対称性**を尊重して構成
- 短距離の物理 ( $r \ll 1/\Lambda$ ) は低エネルギー一定数で表現される

### 例) QEDとEuler-Heisenberg作用

$$\mathcal{L}_{\text{QED}} = -\frac{1}{4}F_{\mu\nu}F^{\mu\nu} + \bar{\psi}_e(i\gamma^\mu D_\mu - m_e)\psi_e$$

- **光子と電子**の微視的理論

$$\mathcal{L}_{\text{EH}} = -\frac{1}{4}F_{\mu\nu}F^{\mu\nu} + c_1(F_{\mu\nu}F^{\mu\nu})^2 + c_2(F_{\mu\nu}\tilde{F}^{\mu\nu})^2 + \dots$$

- **光子**のみの有効場の理論、 $E \ll \Lambda = m_e$ で有効
- $U(1)$ ゲージ対称性、ローレンツ対称性、パリティ対称性

# カイラル摂動論

## カイラル摂動論 (Chiral Perturbation theory、ChPT)

### - 原理の確立

S. Weinberg, *Physica A* 96, 327 (1979)

### - 実際の応用

J. Gasser, H. Leutwyler, *Nucl. Phys. B* 250, 465 (1985), ...

## 理論の構成方法 (まずは $\pi$ のみ)

- 1) 有効ラグランジアンを作る
- 2) ファインマン図のパワーカウンティング
- 3) 次数毎にくりこみを行う
- 4) 低エネルギー一定数を決定する

# 有効ラグランジアン構成

## 対称性の尊重

- QCDでのクォークのカイラル変換： $(R, L)$
- $(R, L)$ での $\pi$ 場の変換性を決定（非線形表現）
- 変換の下で不変な最も一般的なラグランジアン：無限個の項

## 低エネルギー展開

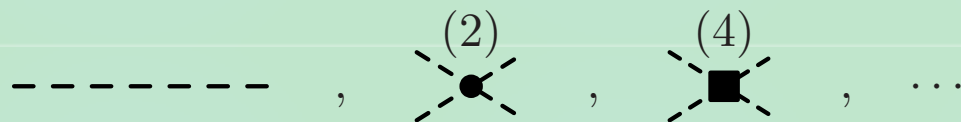
- ラグランジアンの微分  $\sim$  ファインマン図の運動量
- 微分の数が少ない項が低エネルギーで支配的


$$\mathcal{L}_{\text{ChPT}}^{\pi} = \mathcal{L}^{(2)}(\pi) + \mathcal{L}^{(4)}(\pi) + \mathcal{L}^{(6)}(\pi) + \dots$$

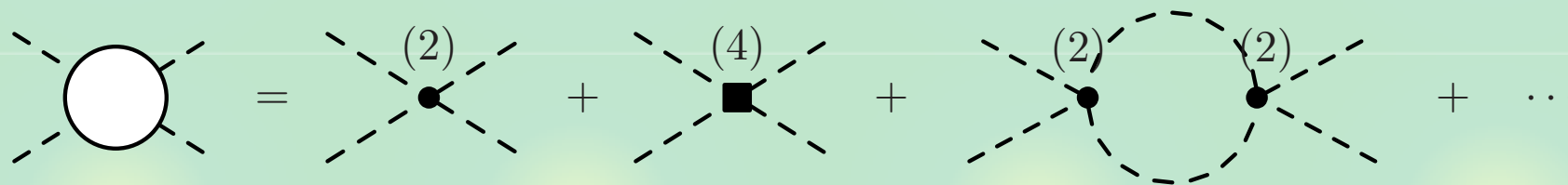
$p \ll \Lambda$ の現象は有限項のラグランジアンで記述される

# ファインマン図とパワーカウンティング

ファインマン図の部品がラグランジアンで与えられる



任意の過程に寄与するファインマン図は無限個



LO (Leading order、 $\mathcal{O}(p^2)$ )

NLO (Next to leading order、 $\mathcal{O}(p^4)$ )

ファインマン図のカウンティング：有限個の図による摂動計算

- LOが低エネルギー定理、高次項はその補正

# くりこみ可能性

## くりこみの手続き

- ループ積分は一般に紫外発散する
- カットオフ $\mu$ を導入し有限にする (regularization)
- 同じ次数の低エネルギー一定数に $\mu$ 依存性を導入

## $\pi$ のみのカイラル摂動論の場合

- 次数毎に現れる発散に対応した低エネルギー一定数が存在
  - 観測量が $\mu$ 非依存にできる (くりこめる)

$$T = L_i(\mu) + I(\mu)$$

次数毎で (order by order) くりこみ可能

# 低エネルギー一定数

## 低エネルギー一定数

- くりこみ後、何らかの実験データと比較して決定
- 摂動の次数をあげると数が増える

$$\mathcal{L}_{\text{ChPT}}^\pi = \mathcal{L}^{(2)}(\pi) + \mathcal{L}^{(4)}(\pi) + \mathcal{L}^{(6)}(\pi) + \dots$$

2個
12個
94個

同じ定数が様々な過程に寄与：一度決めたら**他を予言**できる

例) 崩壊定数  $f_\pi$

- $\pi$  の弱崩壊で決定
- Weinberg-Tomozawa定理で散乱長を予言

摂動の次数の低エネルギー一定数より多くのデータが必要



# 核子場

## 核子場 $N$ の導入

- $(R, L)$ での  $N$  の変換性を決定（非線形表現）
- 変換の下で不変な最も一般的なラグランジアンを作る
- 核子数は保存量なので、核子数毎にラグランジアンを構成

## 核子数 1 の系の低エネルギー展開

- 微分の数が少ない項が低エネルギーで支配的

$$\mathcal{L}_{\text{ChPT}}^{\pi N} = \mathcal{L}^{(1)}(\pi, N) + \mathcal{L}^{(2)}(\pi, N) + \mathcal{L}^{(3)}(\pi, N) + \dots$$

- 奇数次項が許される ( $\gamma_\mu$ があるため)

# 核子を含むChPT

問題点1：核子のエネルギーと運動量に差が生じる

$$- \pi : (\sqrt{m_\pi^2 + \mathbf{p}^2}, \mathbf{p}), \quad N : (\sqrt{M_N^2 + \mathbf{p}^2}, \mathbf{p})$$

$\nearrow$   $\propto$ クォーク質量、小さい       $\nwarrow$   $\propto$  自発的破れ、小さくない

- 運動量が小さくても核子のエネルギーは小さくない

問題点2：高次の頂点を用いたループが低次の発散を出す

- くりこみが破綻

解決方法

- 非相対論極限からの展開 (Heavy baryon ChPT)

- 共変性を保って定式化 (Infrared Regularization, EOMS)

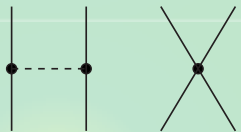
# 核力の記述

## 核子数 2 の系

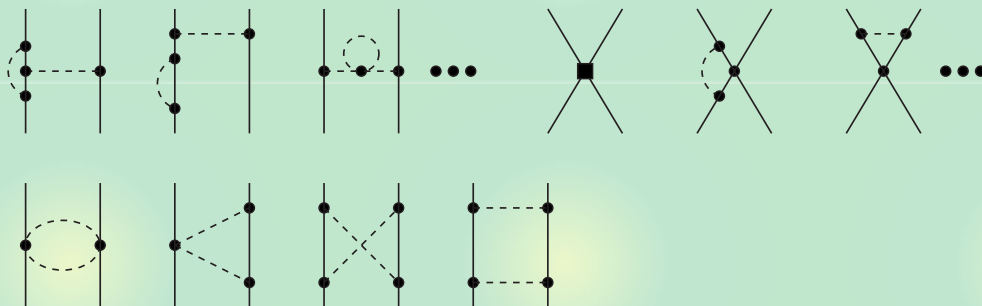
$$\mathcal{L}_{\text{ChPT}}^{NN} = \mathcal{L}^{(0)}(N) + \mathcal{L}^{(2)}(N) + \mathcal{L}^{(4)}(N) + \dots$$

- カウンティングを整理し、 $\mathcal{L}_{\text{ChPT}}^{\pi}$ ,  $\mathcal{L}_{\text{ChPT}}^{\pi N}$  と合わせると

Leading order



Next-to-leading order



# 核力の記述

摂動計算の問題点：束縛状態（重陽子）が記述できない

$$\sum_{n=0}^N x^n = 1 + x + \dots + x^N$$

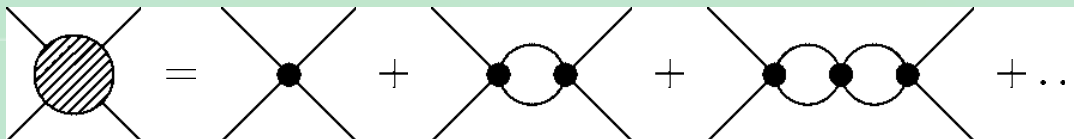
有限項の和は $x$ の正則関数

$$\sum_{n=0}^{\infty} x^n = 1 + x + \dots = \frac{1}{1-x}$$

無限級数の和は極を持つ

束縛状態を記述するにはある種の図を無限個足す必要がある

- Lippmann-Schwinger方程式（再総和）



c.f.) 摂動計算とシュレディンガー方程式の厳密解

- 結合定数が小さくないことに対応

# カイラルEFT

## 再総和の方法

- カイラル摂動論を用いてポテンシャル  $V$  を導出

$$V = V_{\text{LO}} + V_{\text{NLO}} + V_{\text{N}^2\text{LO}} + \dots$$

- $V$  をLS方程式に代入し散乱振幅  $T$  を決定

$$T = V + VGT$$

$$= V + VGV + VGVGV + \dots$$

↑ ループ、カットオフを含む

## くりこみについて

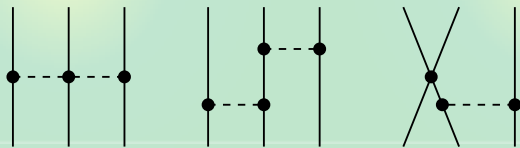
- ポテンシャル  $V$  は次数ごとにくりこみ可能
- LS方程式のカットオフ依存性は残る → 理論の不定性

# 3体力

## 核子数3の系

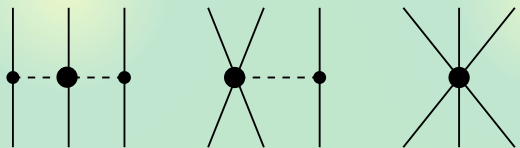
- 2体力と同じ枠組みで計算可能

Next-to-leading order



→ 2体力のoff-shell成分とキャンセル

Next-to-next-to-leading order



- 3体力は $N^2LO$ から始まる（2体力は $LO$ ）

→ 核力の主要な部分は2体力

- 4体力、5体力はさらにsuppressされる

## まとめ



## カイラル対称性と自発的破れ

- 構成子クォーク質量の生成
- 南部ゴールドストーンボソン  $\pi$  の出現



## カイラル摂動論、カイラルEFT

- 低エネルギー定理を自然に満たす枠組み
- 次数を上げることで精度を向上できる
- 核力の場合は再総和が必要
- 多体力も整合的に取り扱える